

Digitales Brandenburg

hosted by Universitätsbibliothek Potsdam

Das Norddeutsche Unter-Oligocän und seine Mollusken-Fauna

Naticidae - Pyramidellidae - Eulimidae - Cerithidae - Turritellidae

Koenen, Adolf von

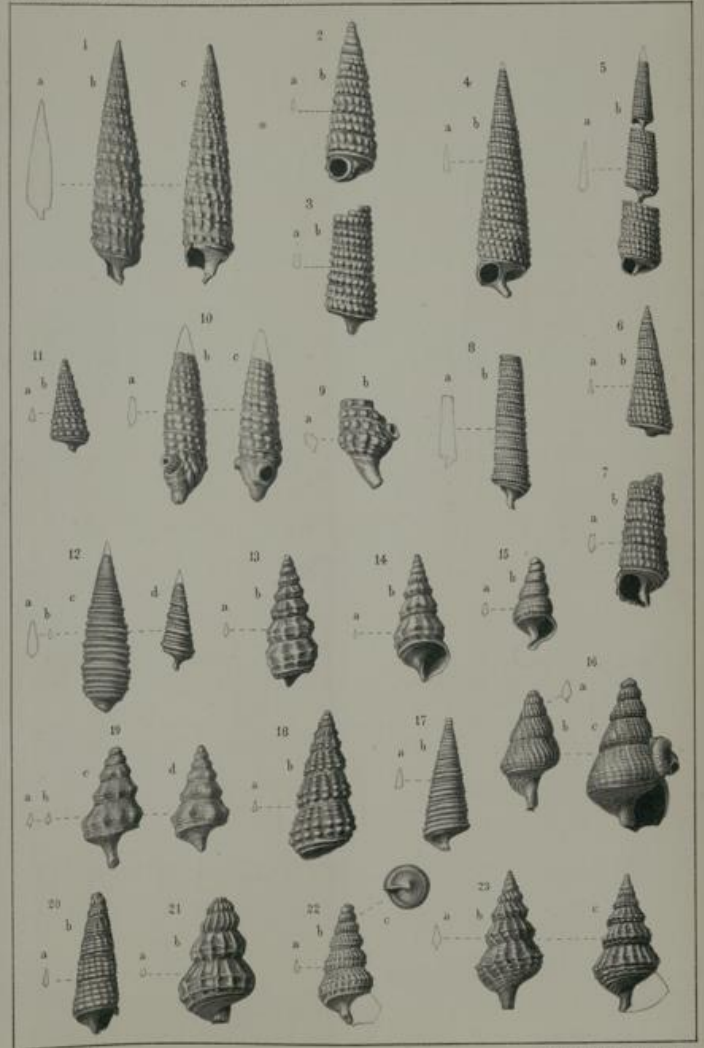
Berlin, 1891

Tafel XLV.

urn:nbn:de:kobv:517-vlib-7089

Tafel XLV.

- Fig. 1a, b, c. *Triforis laeva* PHIL. von Lattorf S. 692
 1a in natürlicher Grösse. 1b, c vergrössert.
- Fig. 2a, b; 3a, b, 4a, b; 8a, b. *Triforis praelonga* v. KOENEN S. 689
 2; 3; 4 von Lattorf. 8 von Atzendorf.
 2a; 3a; 4a; 8a in natürlicher Grösse. 2b; 3b; 4b; 8b
 vergrössert.
- Fig. 5a, b; 6a, b; 7a, b. *Triforis elatior* v. KOENEN von Lattorf S. 691
 5a, 6a, 7a in natürlicher Grösse. 5b; 6b; 7b vergrössert.
- Fig. 9a, b; 10a, b, c; 11a, b. *Triforis bigranosa* v. KOENEN
 von Lattorf S. 688
 9a; 10a; 11a in natürlicher Grösse. 9b; 10b, c; 11b ver-
 grössert.
- Fig. 12a, b, c, d. *Triforis vermicularis* v. KOENEN von Lattorf . S. 694
 12a, b in natürlicher Grösse. 12c, d vergrössert.
- Fig. 13a, b; 14a, b. *Cerithium tenuicosta* v. KOENEN von Lattorf S. 646
 13a; 14a in natürlicher Grösse. 13b; 14b vergrössert.
- Fig. 15a, b. *Cerithium obliteratum* v. KOENEN von Lattorf . . S. 685
 15a in natürlicher Grösse. 15b vergrössert.
- Fig. 16a, b, c. *Cerithium semireticulatum* v. KOENEN von Lattorf S. 649
 16a in natürlicher Grösse. 16b, c vergrössert.
- Fig. 17a, b, c. *Cerithium bispiratum* v. KOENEN von Lattorf . S. 675
 17a in natürlicher Grösse. 17b, c vergrössert.
- Fig. 18a, b. *Cerithium nassoïdes* v. KOENEN von Unseburg . . S. 653
 18a in natürlicher Grösse. 18b vergrössert.
- Fig. 19a, b, c, d. *Cerithium varinodum* v. KOENEN von Lattorf . S. 647
 19a, b in natürlicher Grösse. 19c, d vergrössert.
- Fig. 20a, b. *Cerithium planistria* v. KOENEN von Lattorf . . S. 683
 20a in natürlicher Grösse. 20b vergrössert.
- Fig. 21a, b. *Cerithium thiaratum* v. KOENEN von Lattorf . . S. 686
 21a in natürlicher Grösse. 21b vergrössert.
- Fig. 22a, b. *Cerithium Lattorfense* v. KOENEN von Lattorf . . S. 684
 22a in natürlicher Grösse, 22b vergrössert.
- Fig. 23a, b, c. *Cerithium tritoniforme* v. KOENEN von Lattorf . S. 651
 23a in natürlicher Grösse. 23b, c vergrössert.



O. Peteri gez.

Lithdruck v. A. Frisch, Berlin.

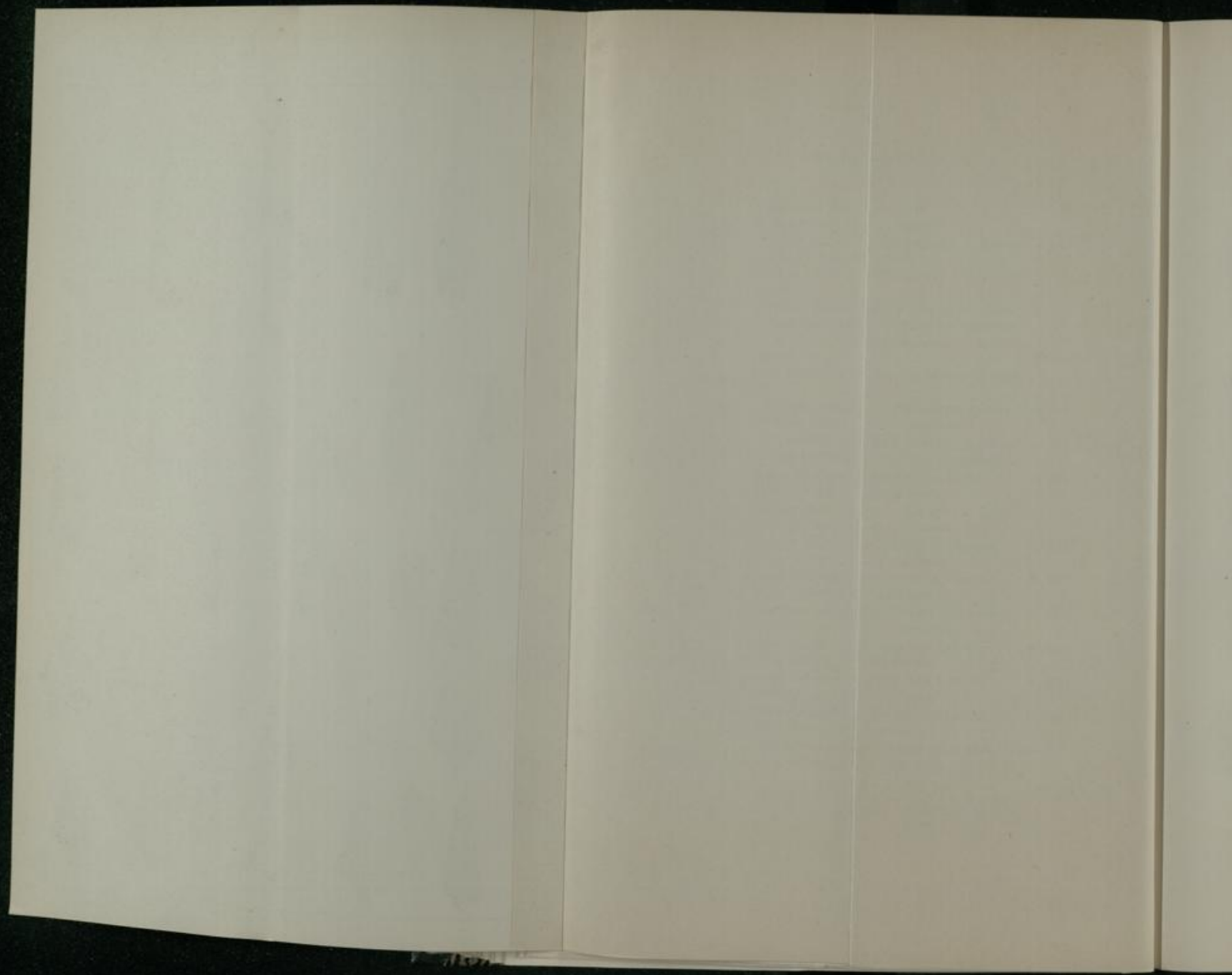


TABLE IV

The following table shows the results of the experiments conducted on the effect of the concentration of the solution on the rate of reaction. The rate of reaction was measured by the volume of gas evolved in a given time.

Concentration of Solution (%)	Rate of Reaction (ml. gas / min.)
10	1.2
20	2.4
30	3.6
40	4.8
50	6.0
60	7.2
70	8.4
80	9.6
90	10.8
100	12.0

It is seen from the above table that the rate of reaction increases with the concentration of the solution. This is due to the fact that the number of particles per unit volume increases with the concentration, and hence the frequency of collisions between the particles increases. As a result, the rate of reaction increases.